

DE LA RECHERCHE À L'INDUSTRIE

cea

Les accélérateurs de particules

antoine.chance@cea.fr

L'instrument par excellence de la Recherche Fondamentale

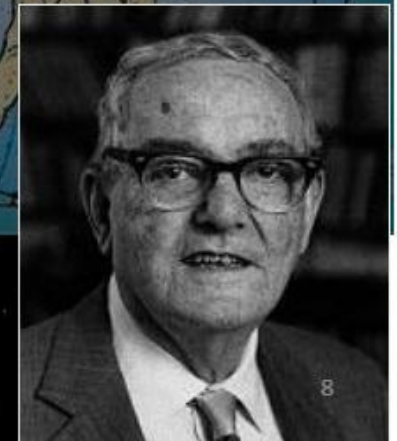
*Goal of Accelerator Science :
Answer Fundamental Questions*

*We humans have long been obsessed
with four great questions:*

*the nature of matter,
the origins of the Universe,
the nature of Life,
the workings of mind.*

Herbert A. Simon

*Nobel Laureate in Economics
from the Lecture in 1986*



Qui rend aussi de grands services à la Société



Accelerators in Use

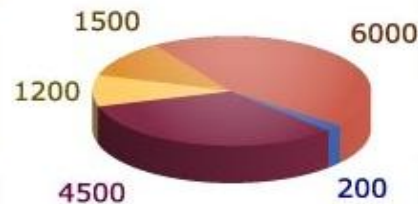
There are about 13,000 accelerators in use around the world

Nowadays the majority of accelerators are used in different types of applications. However, we will mainly go through their use as a tool for exploring the interior of matter.

General industrial use:
Sterilisation, imaging

Research accelerators:
Particles, synchrotron light used in biomedical, physics, chemistry, biology, material research

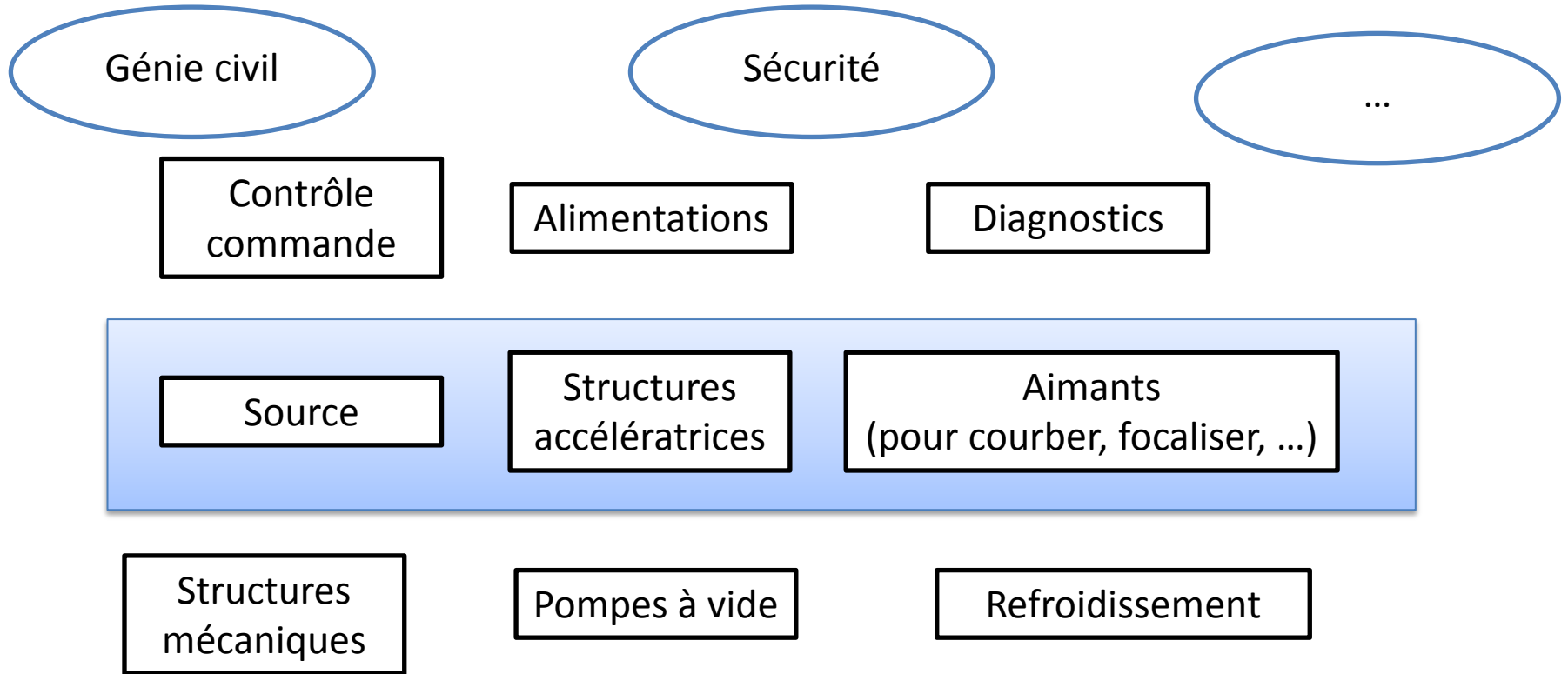
Radiotherapy:
Cancer treatment with X-rays, protons and other particles



Ion implantation, surface modifications:
Controlled semiconductor doping; Changing properties of surfaces

Radioisotope production:
Cancer treatment; imaging organs for medical use

Quels constituants dans un accélérateur?



Beaucoup de corps de métiers réunis autour d'un même projet

Historique



Préhistoire



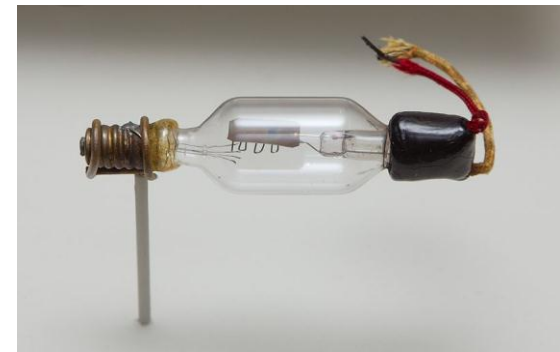
- 1864: Les équations de Maxwell
- 1888 : Premières expériences sur la propagation des ondes électromagnétiques par Rudolf Hertz
- 1895: Découverte des rayons X par Wilhelm Röntgen
- 1897: Découverte des électrons par Thomson
- 1905: La théorie de la Relativité restreinte d'Albert Einstein
- 1906: Invention de la triode par Lee de Forest
- 1924: Thèse de Louis de Broglie sur le dualisme onde-particule

$$\begin{aligned}\nabla \cdot \mathbf{E} &= \frac{\rho}{\epsilon_0} & \nabla \times \mathbf{E} &= -\frac{\partial \mathbf{B}}{\partial t} \\ \nabla \cdot \mathbf{B} &= 0 & \nabla \times \mathbf{B} &= \mu_0 \mathbf{J} + \mu_0 \epsilon_0 \frac{\partial \mathbf{E}}{\partial t}\end{aligned}$$

Les équations de Maxwell



La main de Berta Röntgen



L'Audion de Lee De Forest, 1906

La radioactivité

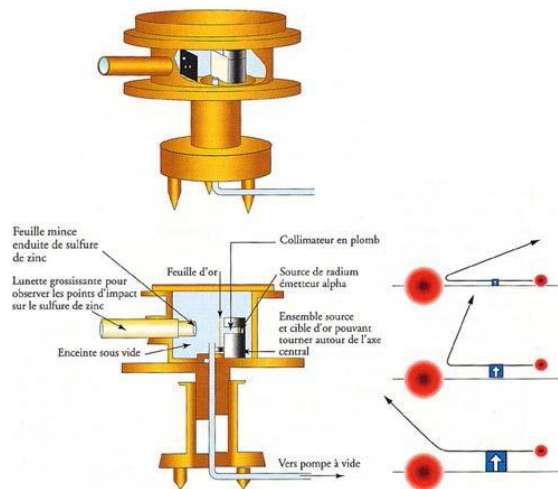
- 1896: Henri Becquerel découvre la radioactivité “spontanée” (*fortuitement*)
- 1898 : Pierre et Marie Curie découvrent le Radium
- 1911: Geiger, Marsden et Rutherford découvrent le noyau atomique en bombardant une feuille d’or par des particules α

Ernest Rutherford: " It was quite the most incredible event that ever happened to me in my life. It was almost as incredible as if you fired a 15-inch shell at a piece of tissue paper and it came back and hit you."

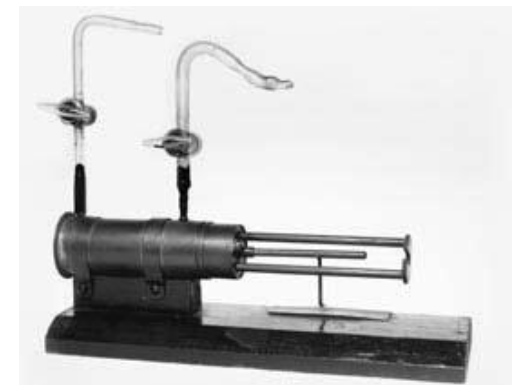
- 1919 Ernest Rutherford réalise la première transmutation nucléaire :
 $\alpha (^{14}\text{N}, ^{17}\text{O}) \text{ p}$



Plaque commémorative du laboratoire de Becquerel au Jardin des plantes



Expérience de diffusion des α



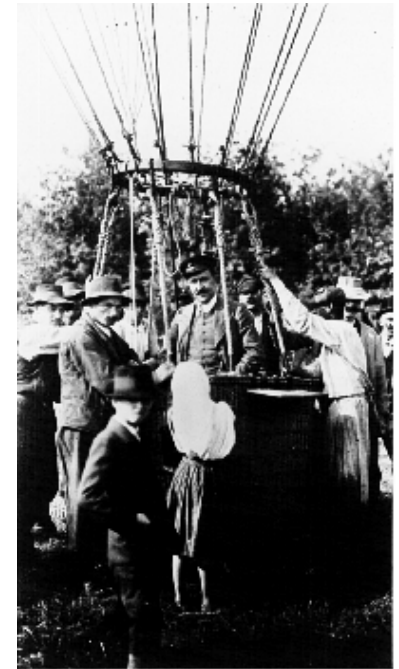
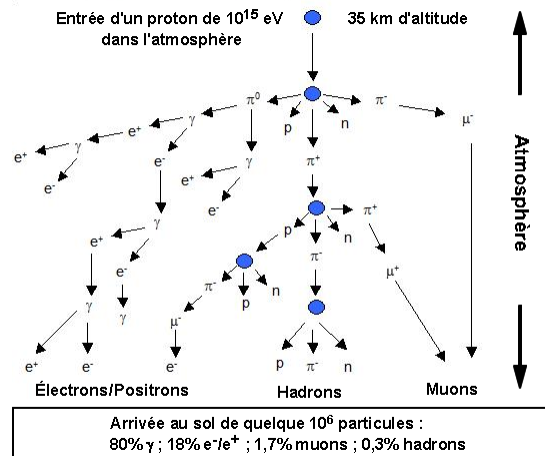
La chambre de la première transmutation nucléaire

L'expression du besoin

1927 E. Rutherford says, addressing the Royal Society :“... *if it were possible in the laboratory to have a supply of electrons and atoms of matter in general, of which the individual energy of motion is greater even than that of the alfa particle, ... this would open up an extraordinary new field of investigation...*”

Car jusqu'ici les physiciens disposaient :

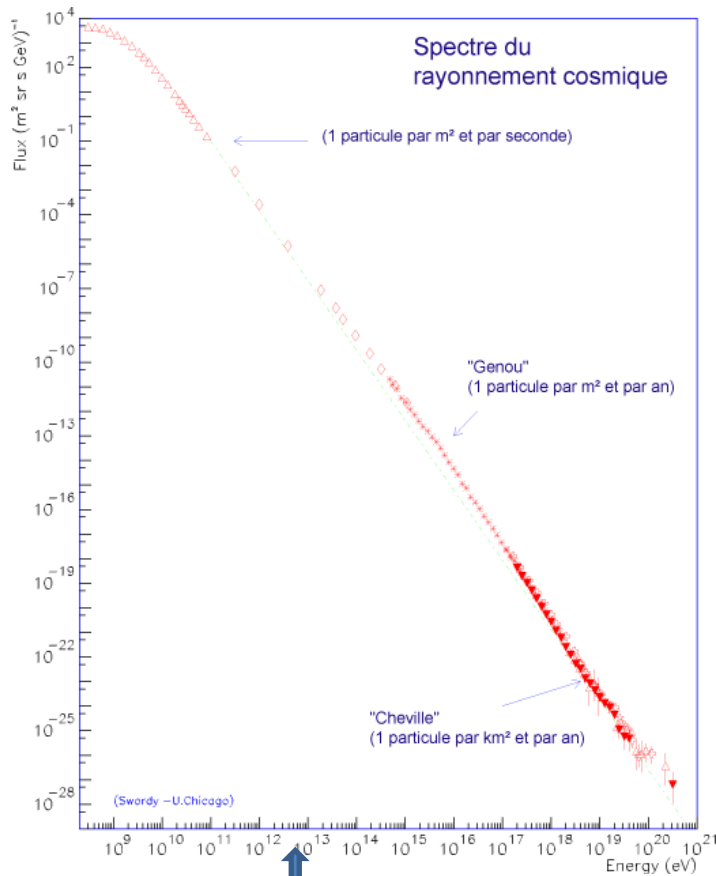
- Des α (< 10 MeV) et des β provenant de la radioactivité naturelle
- **Des particules cosmiques**
 - 1910 Theodore Wulf (tour Eiffel)
 - 1911-12 Victor Hess (10 ballons a 5000 m)
 - 1932 Anderson découvre le positron e^+ (0.511 MeV)
 - 1937 Anderson et Neddermeyer découvrent les muons μ^- et μ^+ (106 MeV)
 - 1940s particules étranges (quark étrange) K^+ K^- K_0 Λ Σ^+ (494 MeV – 1117 MeV)
 - 1947 Lattes, Occhialini et Powel découvrent les pions π^+ et π^- (140 MeV)



Victor Hess
Autriche 1912

Petit aparté sur les astroparticules

- Des énergies phénoménales (jusqu'à 10^{20} eV)
- Mais de très faibles occurrences



↑ Energie des protons dans le LHC
(2 x 7 TeV) mais avec $10^{34} \text{ cm}^{-2} \text{ s}^{-1}$



Observatoire Pierre Auger
en Argentine

Les ingénieurs se mettent au travail

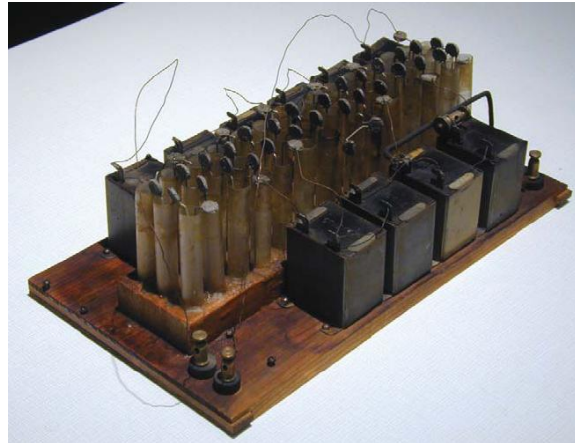
- 1930 John Cockcroft et Ernest Walton (Cavendish Lab. Cambridge) augmentent la tension du système utilisée dans les générateurs de rayon X (Cascade de Greinacher).



Cockcroft , Rutherford et
Walton



Heinrich Greinacher



Le montage original de
Greinacher - 1920

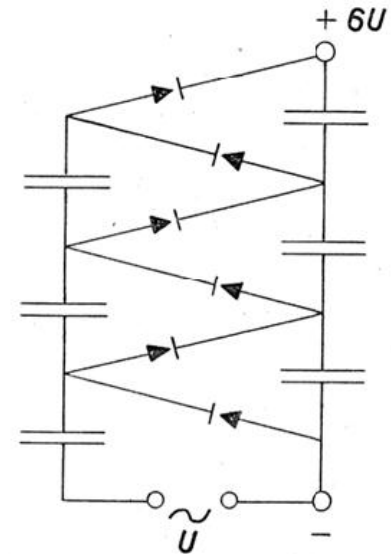
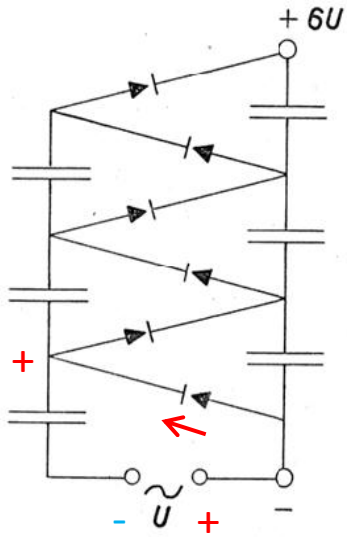
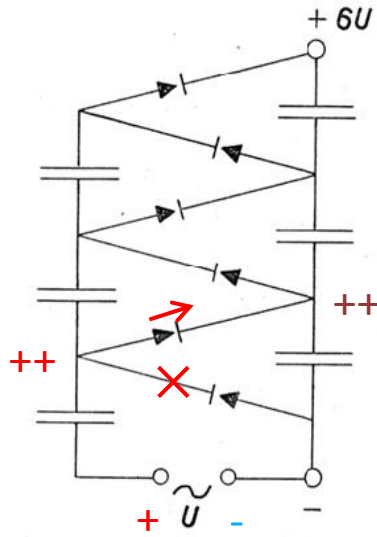


Schéma de la
cascade de
Greinacher

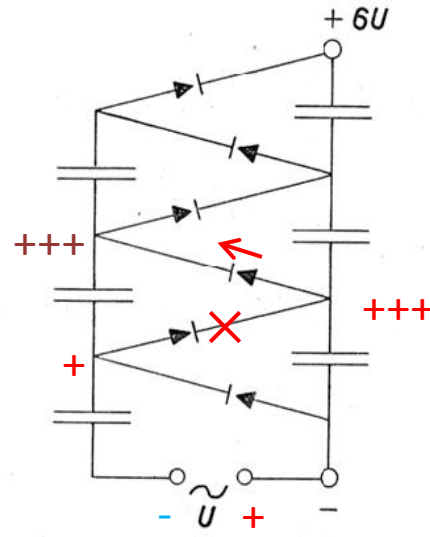
Fonctionnement de multiplieur de Greinacher



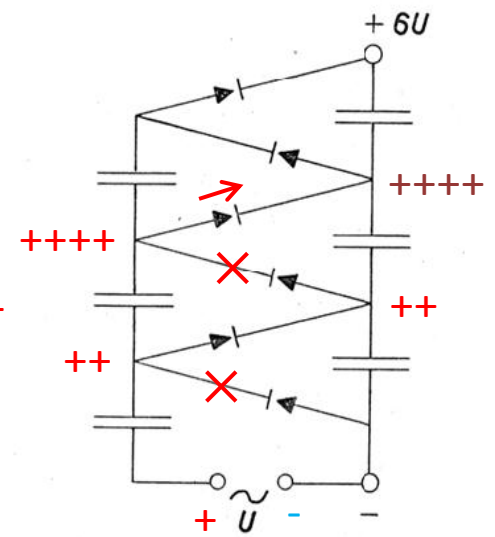
1^{ere} alternance



2^{eme} alternance



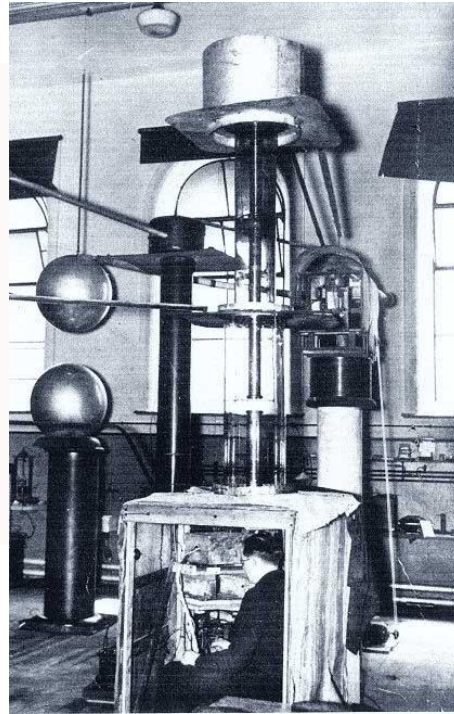
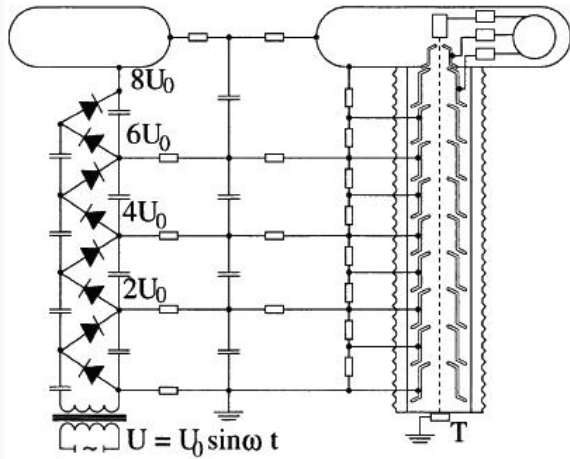
3^{eme} alternance



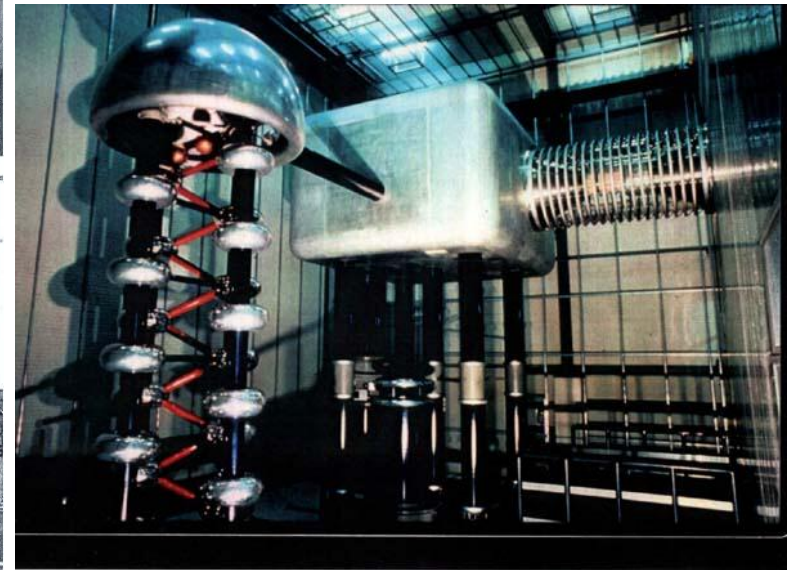
4^{eme} alternance ...

Le Cockcroft-Walton

- 1932 : Cockcroft et Walton réussissent avec leur accélérateur la première désintégration d'atomes de Li par des protons de 400 keV.
- Le C.W. est encore utilisé comme injecteur de Hadron mais est maintenant le plus souvent remplacé par un RFQ.



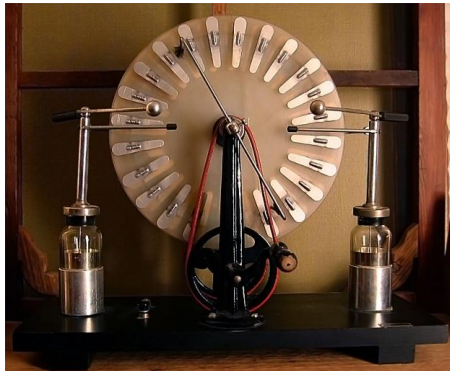
Walton en expérimentation



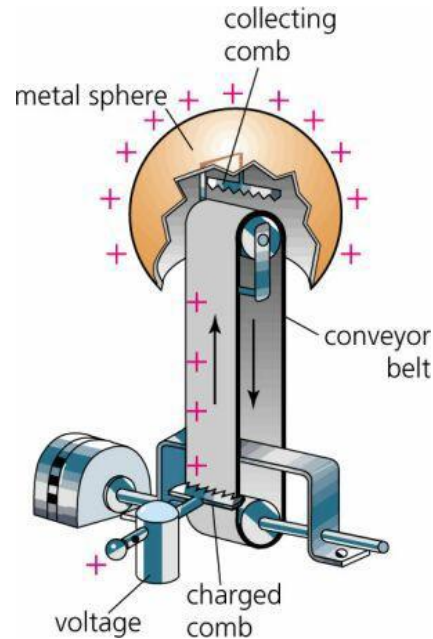
L'injecteur 810 kV du cyclotron Mega-Watt (PSI- Suisse)

Autre approche : le générateur électrostatique

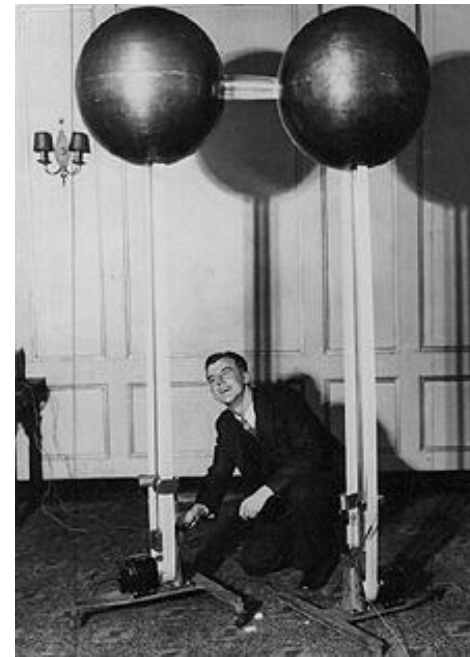
- 1929 : Robert Van de Graaf travaille a Princetown sur un principe de bande transportant des charges électriques.
- 1931 : 1.5 MV sont atteints au moyen de 2 machines



Machine de
Whimshurst - 1880



Principe de
fonctionnement



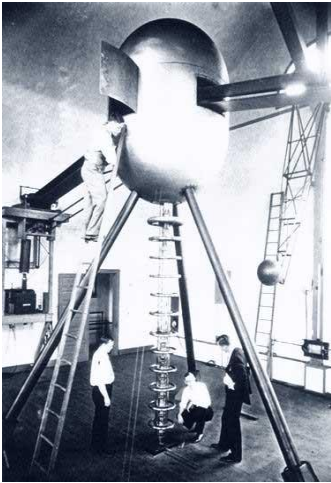
Van de Graaf et une
de ses 1^{eres} machines
(crédit MIT)



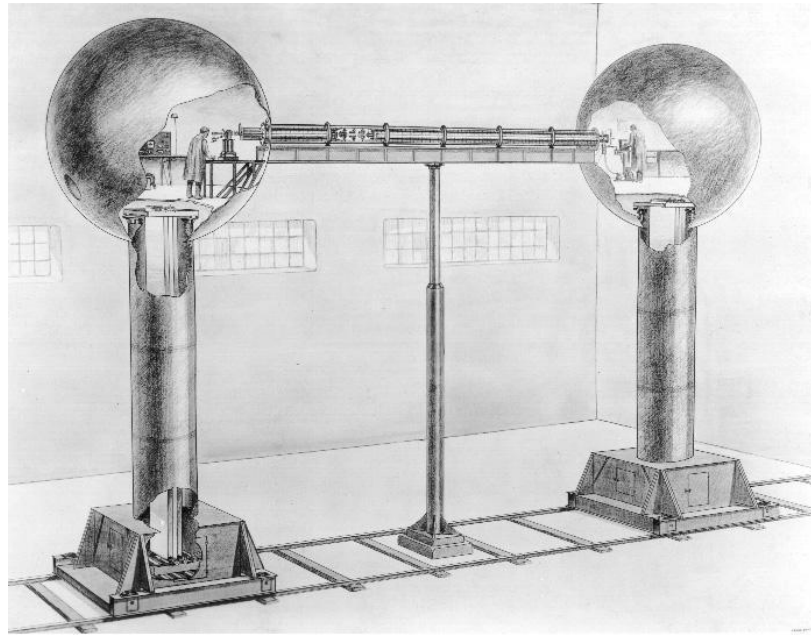
Robert Van
de Graaf

La course aux MV

- Pour éviter les claquages
 - augmenter les dimensions
 - augmenter l'isolation par des gaz de forte rigidité diélectrique sous pression
 - Opérer sous vide (loi de Paschen)



1933: Washington
1.2 MV



CUTAWAY DRAWING SHOWING HOW THE MACHINE WAS USED AT ROUND HILL

©MIT Museum All rights reserved

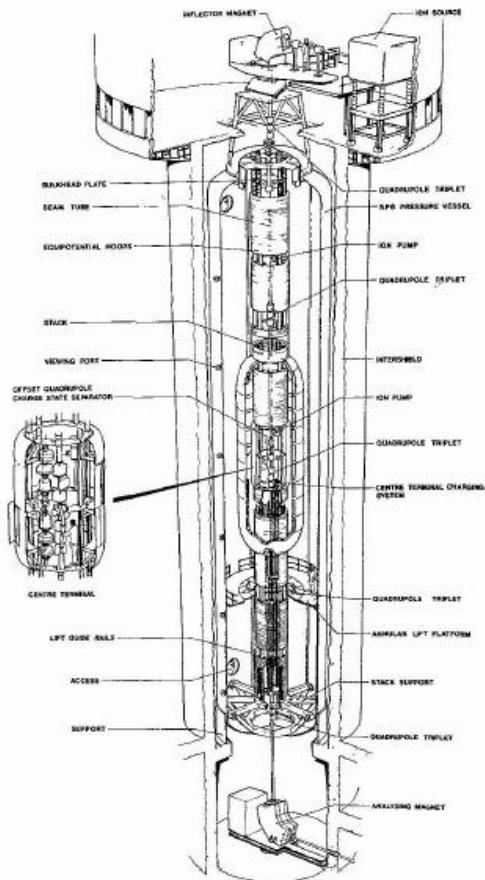
5 MV



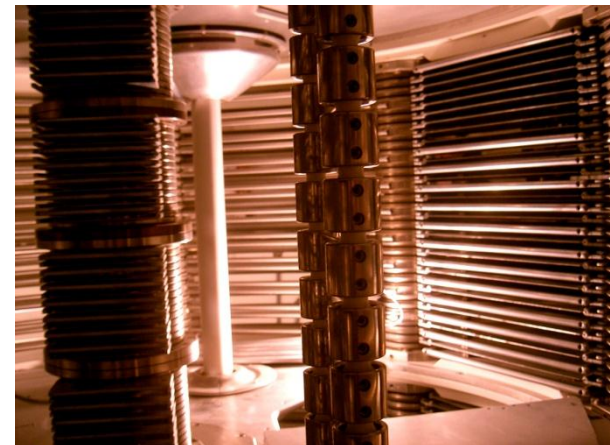
Construction dans un
ancien hangar de
dirigeable

Les records

- Vivitron (Strasbourg) mis en service 1993 décommissionné en 2003
 - 35 MV prévus – 25 MV atteints
- Tandem de Daresbury (30 MV) décommissionné
- Très bon accélérateur pour la physique nucléaire : tous types d'ions, très faible dispersion en énergie, quelques 10s μ A, mais limités a 30 MV



Tandem de Daresbury



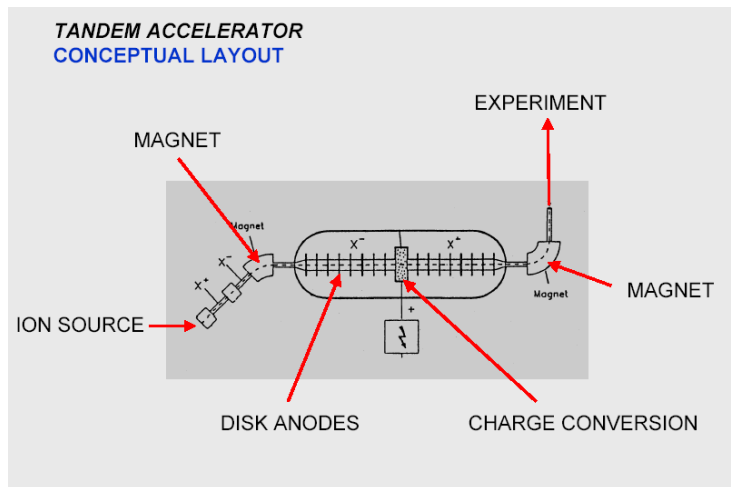
A l'intérieur

L' accélérateur tandem

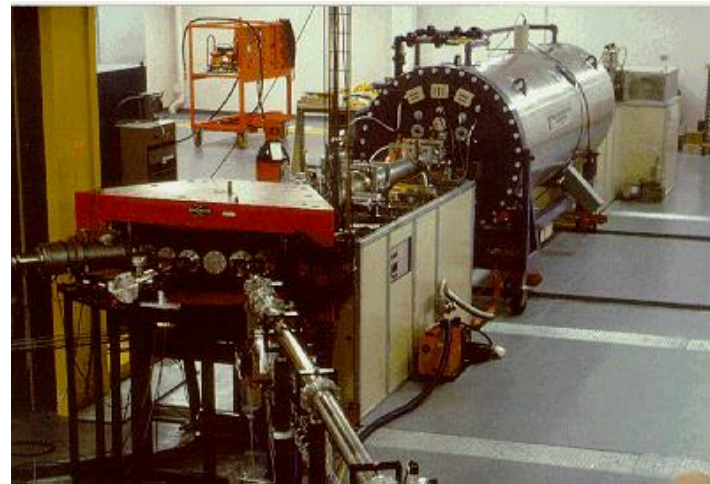
Accélérer des ions négatifs, les « éplucher » pour les transformer en ions positifs et ainsi les accélérer une seconde fois.

Avantages: - 2 accélérations successives

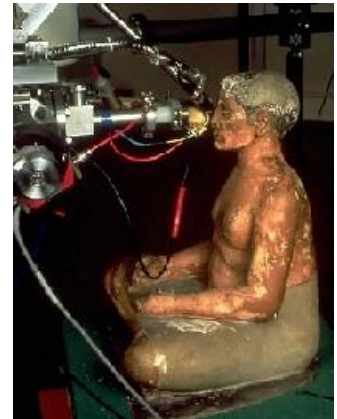
- la source d'ions ainsi que la cible restent a la masse



Principe du tandem



AGLAE : le Tandem du Louvre



L'accélération résonnante

Additionner un grand nombre d'accéléérations successives plutôt que d'essayer d'accroître la tension, forcément limitée.

- Proposé par Gustaf Ising en 1924
- Réalisé par Rolf Wideroe en 1928
- Premier Linac opérationnel construit par Sloan en 1930
- Premier cyclotron par Ernest Lawrence en 1931
- ...
- Pratiquement tous les accélérateurs aujourd'hui.

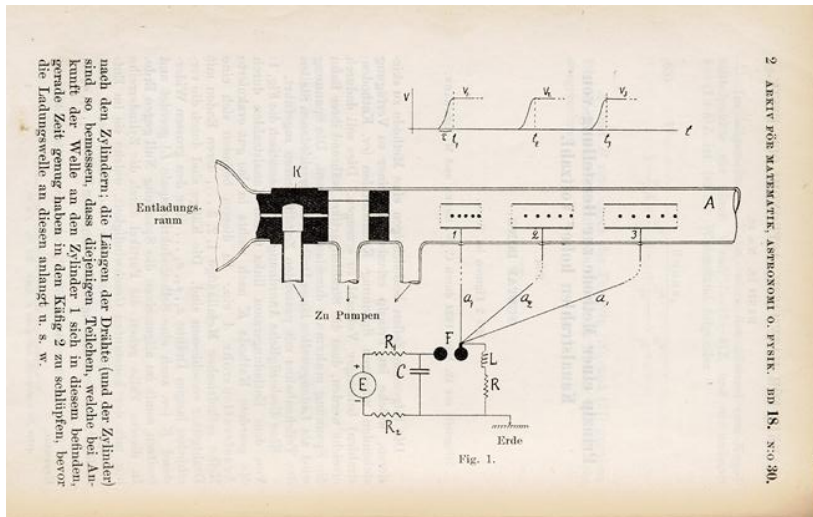
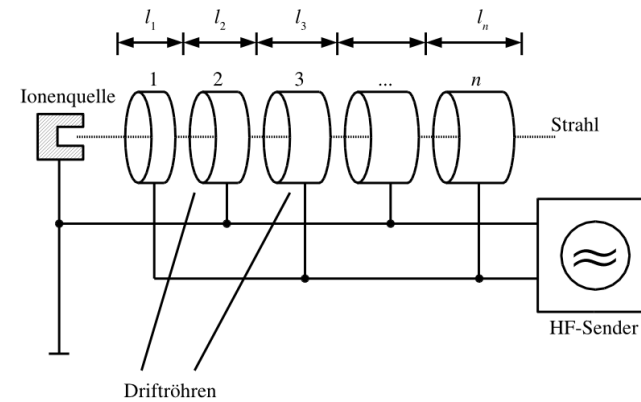


Schéma de Ising



et sa version moderne

Le premier Linac

- Rolf Wideroe construit en 1928 pour sa thèse à l'université d'Aix la Chapelle le premier Linac a partir d'une triode (1 MHz) et d'un transformateur (25 kV). Il parvient a accélérer des ions K^{1+} a 50 keV.
- Déjà tout y est: source d'ions, injecteur, générateur RF, 2 gaps accélérateurs avec tube de glissement, dipôle, détecteur, vide...



R. Wideroe

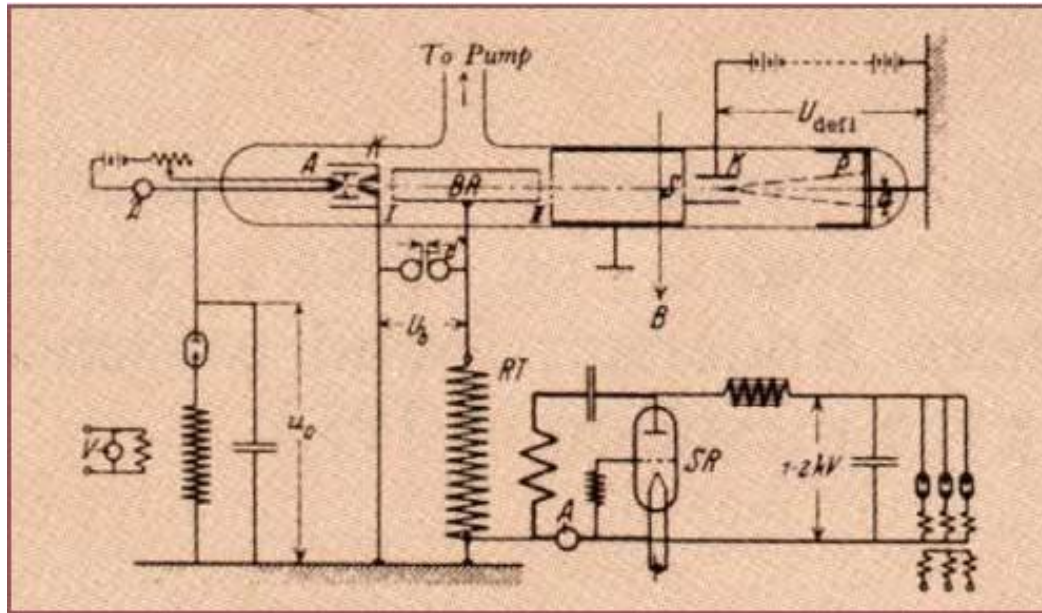


Schéma publié dans « Archiv fur Elektrotechnik »

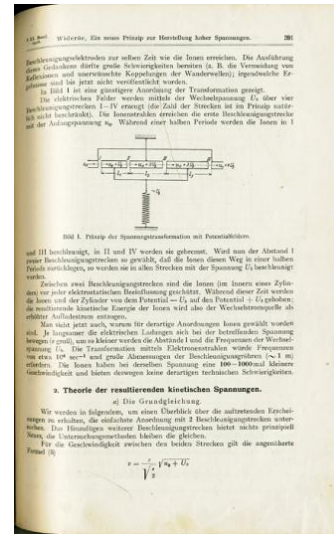
Une première démonstration sans suite...

- Des limitations technologiques pour la RF à l'époque :
 - Pour des p+ d' énergie $W = 1$ MeV, si on veut des tubes de glissement de longueur raisonnable ($d = 20$ cm) :
 - $d = \beta \lambda / 2$, $\beta = v/c = (1 - 1/\gamma^2)^{1/2} = 0.046$
 - $\lambda = 8.7$ m
 - fréquence RF = $c/\lambda = 34.5$ MHz
- Même s'il avait été possible de produire de telles fréquences, les tubes auraient rayonné la puissance RF dans l'espace tel une antenne.
- Après sa thèse Wideroe part travailler chez AEG au développement de disjoncteurs haute tension...

Mais l'idée traverse l'Atlantique

- 1929: Ernest Lawrence, jeune professeur a Berkeley, déchiffre pendant une réunion ennuyeuse la thèse de Wideroe trouvée à la bibliothèque (il ne parle pas l'Allemand) et comprend tout le potentiel de l'accélération radio-fréquence.
- Il démarre 2 projets en parallèle avec ses étudiants en thèse:
 - Un Linac multi-tubes pour ions lourds (David Sloan et Lawrence)
 - Un accélérateur circulaire en incurvant les trajectoires grâce a un champ magnétique (Stanley Livingstone et Lawrence) -> Le Cyclotron

not being able to read German easily, I merely looked at the diagrams and photographs of Wideroe's apparatus and from the various figures in the article readily deduced the his general approach to the problem - i.e. the multiple acceleration of the positive ions by application of radio frequency oscillating voltages to a series of cylindrical electrodes



“I’m going to be famous.”

La publication de la thèse de Wideroe

Les notes prises par Lawrence

Plus de tubes pour plus d'énergie

- Après plusieurs prototypes, en mars 1931 David Sloan construit un Linac de 30 électrodes qui accélère un faisceau d'ions Hg de $0.01 \mu\text{A}$ à 1.26 MeV avec un oscillateur a 11 MHz – 75 W
- Sloan et Lawrence apprennent beaucoup de ces machines (stabilité du faisceau, pratique de la RF...)

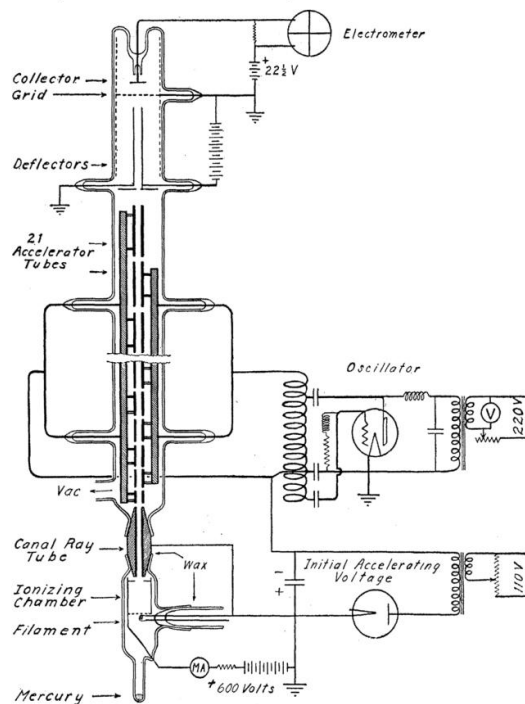
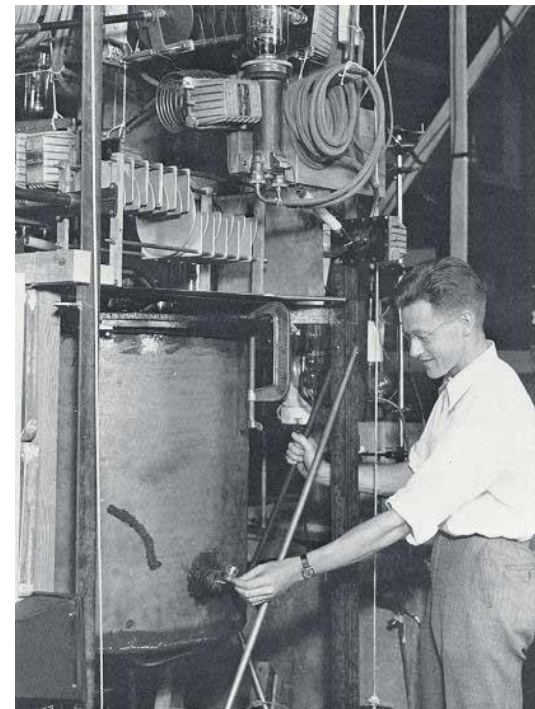


Schéma d'un des Linac de Sloan



D. Sloan et son Linac de 1.3 MeV

Cependant le cyclotron est plus prometteur... pour l'instant

- L'idée circulait déjà depuis 1924 : Gabor, Flegler, Szilard, Steenbeck, Wideroe, mais semblait irréalisable.
- Tout le mérite de Lawrence est d'avoir essayé. [aphorisme de Mark Twain]

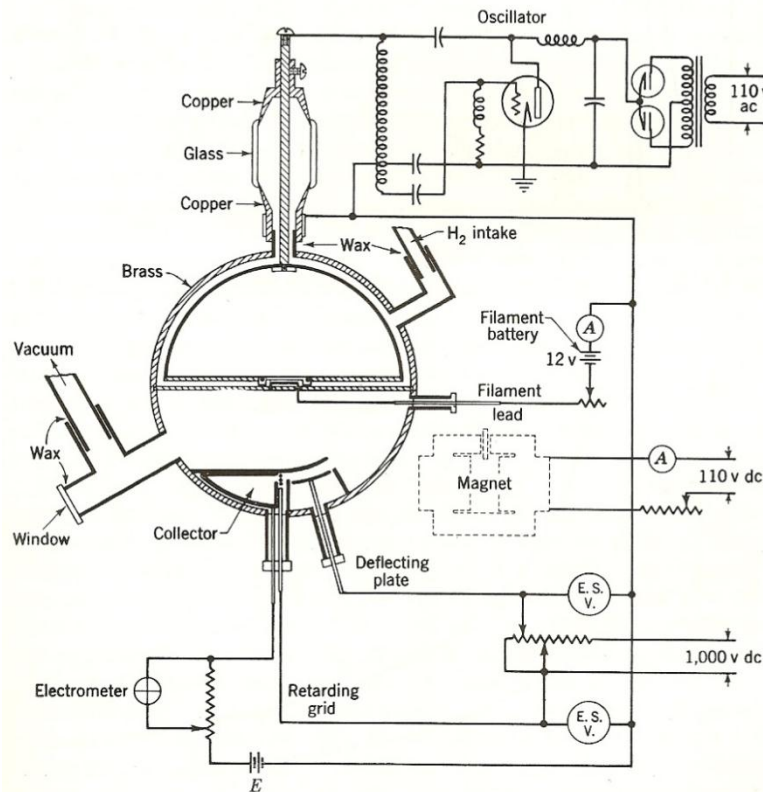


Schéma du premier cyclotron dans la thèse de Livingston



Sa réalisation:
Diamètre 10.2 cm – H₂⁺ à 80 keV

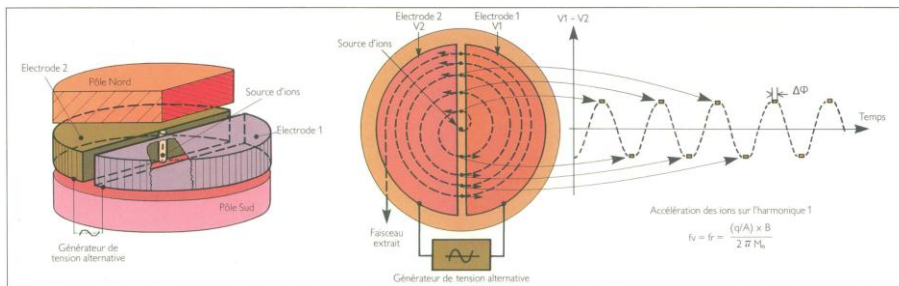
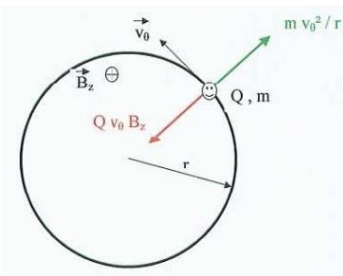
La Physique a été favorable

- La fréquence de rotation est indépendante de l'énergie (isochronisme dans la limite non relativiste) $\vec{F} = q(\vec{E} + \vec{v} \times \vec{B})$

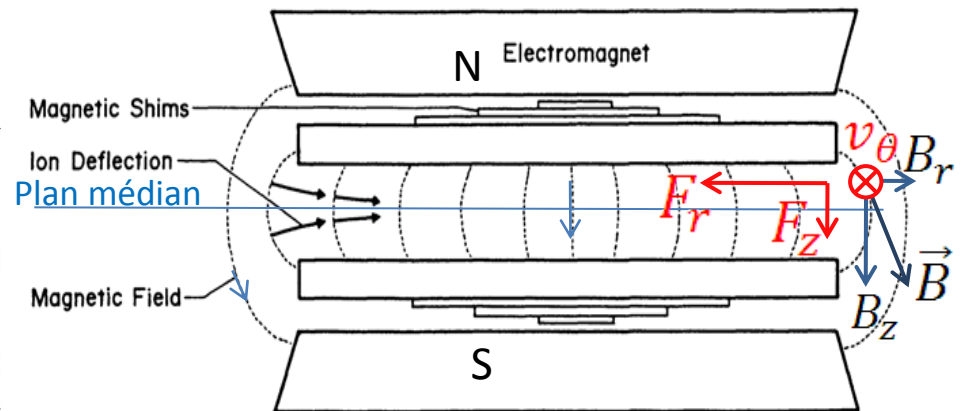
$$F_r = \gamma m_0 \frac{v_\theta^2}{R} = q v_\theta B_z \Rightarrow \omega = \frac{v_\theta}{R} = \frac{q B_z}{\gamma m_0}$$

- La stabilité verticale est assurée par la courbure des lignes de champ B

$$\text{rot } \vec{B} = \left(\frac{1}{r} \frac{\partial B_z}{\partial \theta} - \frac{\partial B_\theta}{\partial z} \right) \vec{u}_r + \left(\frac{\partial B_r}{\partial z} - \frac{\partial B_z}{\partial r} \right) \vec{u}_\theta + \frac{1}{r} \left(\frac{\partial}{\partial r} (r B_\theta) - \frac{\partial B_r}{\partial \theta} \right) \vec{u}_z$$

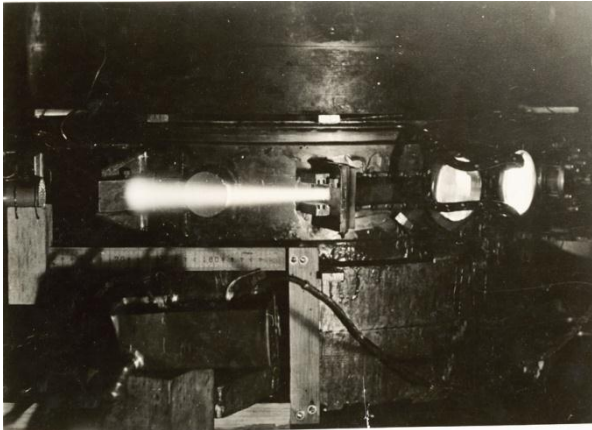


Isochronisme du cyclotron

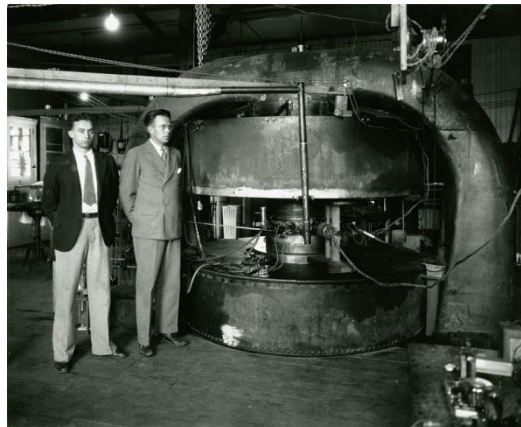


Stabilité verticale dans un cyclotron

Des cyclotrons toujours plus gros



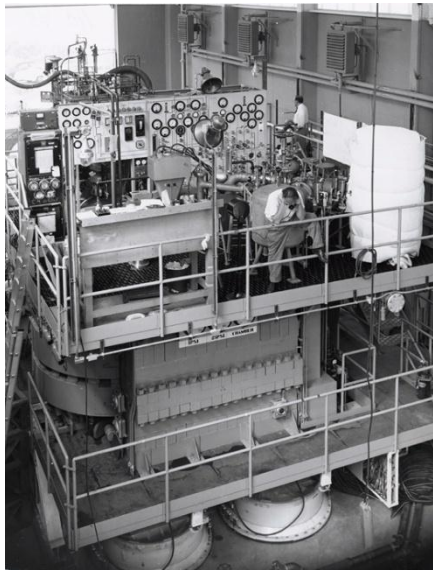
1931 : 28 cm – p+ 1.2 MeV



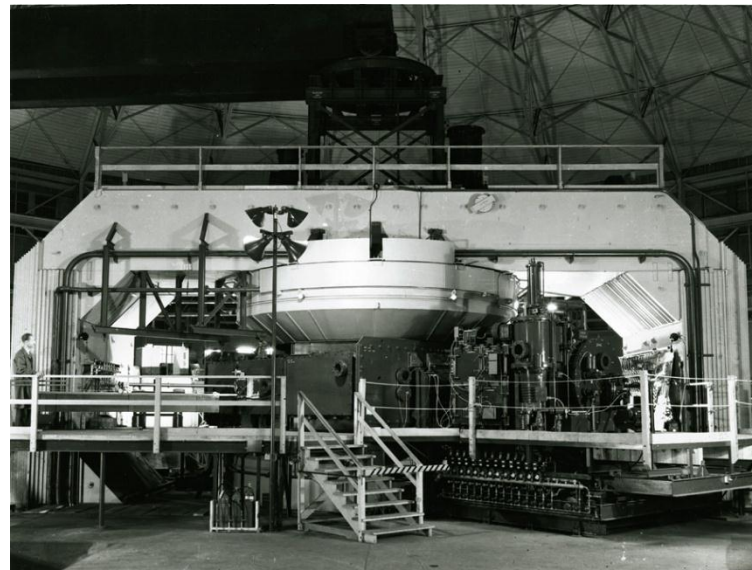
1932-36 : 69 cm D+ 4.8 MeV



1937-38 : 94 cm D+ 8 MeV



1939-41 : 152 cm D+ 16 MeV

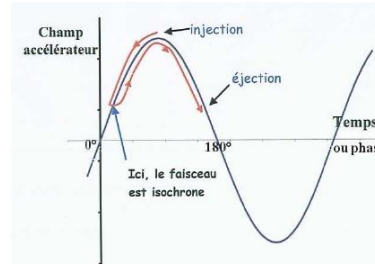


1942: 467 cm ions lourds > 100 MeV

- <http://bancroft.berkeley.edu/Exhibits/physics/>

Solutions pour continuer d' accélérer des particules relativistes

$$\omega = \frac{v_{\theta}}{R} = \frac{q B_z}{\gamma m_0}$$



Stratégie d'injection dans un cyclotron

Problème : la fréquence de rotation diminue quand $\gamma = 1 + \frac{E_c}{E_0}$ augmente et progressivement les particules ne sont plus en phase accélératrice avec la RF. (Limite du cyclotron a pole plat: 20 MeV p+)

– Pour les ions :

- Adapter la fréquence RF a l' énergie atteinte : **Synchrocyclotron**
- Augmenter B en fonction du rayon R : **Cyclotron isochrone a secteurs**
- Adapter B et f simultanément : **Synchrotron**

– Pour les électrons

- Créer un champ accélérateur E circulaire : **Bétatron**
- Sauter une période RF entière a chaque tour : **Microtron**
- **Synchrotron** aussi, mais problème de rayonnement synchrotron
- Cesser de tourner : **Accélérateur linéaire**

L'arbre généalogique

Arbre généalogique des accélérateurs

